# 高速四通道数字隔离器

**UMISO7740A** ***SSOP16(0.635)/SOP16/WSOP16/WWSOP16***
**UMISO7741A** ***SSOP16(0.635)/SOP16/WSOP16/WWSOP16***
**UMISO7742A** ***SSOP16(0.635)/SOP16/WSOP16/WWSOP16***

## 1 描述

UMISO774xA 系列是高性能四通道单向数字隔离器，具有 3kV$_{RMS}$（SSOP16(0.635) 封装）、3.75kV$_{RMS}$（SOP16 封装）、5kV$_{RMS}$（WSOP16 封装）和 7.5kV$_{RMS}$（WWSOP16 封装）的隔离等级，数据速率最高可达 20Mbps。这些器件在低功耗的同时具备高电磁抗扰度和低辐射特性，可隔离不同的接地域，并阻隔高电压/高电流瞬态信号对敏感电路或人机界面电路的干扰。每个隔离通道均设有逻辑输入和输出缓冲器，二者由电容性二氧化硅（$SiO_2$）绝缘屏障隔开；每个输入端集成的施密特触发器在汽车应用中提供了出色的抗噪声能力。

UMISO774xA 系列提供所有可能的单向通道配置，以满足任何四通道设计的需求。UMISO7740A 系列具有四个单向通道。UMISO7741A 系列则包含三个正向通道和一个反向通道，非常适合隔离式 SPI、RS-485 通信等应用。UMISO7742A 系列则通过在每个方向各提供两个通道，进一步提升了设计灵活性。UMISO7741A 和 UMISO7742A 系列均在隔离器的每侧配备了独立的使能控制引脚，可用于将输出置于高阻态，从而在多主驱动应用中降低功耗。

UMISO774xA 系列具有默认输出状态。当输入未供电或处于开路状态时，后缀为 L 的器件默认输出为低电平，后缀为 H 的器件默认输出为高电平；有关各选项对应的后缀，请参阅“订购信息”表。

UMISO774xA 系列提供 SSOP16(0.635) 和 SOP16 窄体封装、WSOP16 宽体封装以及 WWSOP16 超宽体封装。该系列器件的工作环境温度范围为-40℃ 至 125℃。

## 2 特性

- 数据速率：最高 20Mbps
- 数字信号的强健电隔离
  - 长寿命：>40 年
  - 最高 3000 V$_{RMS}$ 的隔离额定值（SSOP16(0.635) 封装）
  - 最高 3750 V$_{RMS}$ 的隔离等级（SOP16 封装）
  - 最高 5000 V$_{RMS}$ 隔离等级（WSOP16 封装）
  - 高达 7500 V$_{RMS}$ 的隔离等级（WWSOP16 封装）
  - 典型 CMTI 为 ±200 kV/μs
- 宽电源电压范围：3.0 V 至 5.5 V
- 宽工作环境温度范围：–40℃ 至 125℃
- 带三态输出功能的使能控制输入
- 提供默认输出高电平(UMISO774xAH)和低电平(UMISO774xAL)选项
- 高电磁抗扰度
- 免启动初始化
- 提供 SSOP16(0.635)、SOP16、WSOP16 和 WWSOP16 封装
- 低传播延迟和偏斜
  - 传播延迟：≤ 100 ns
  - 脉冲宽度失真：≤ 10 ns
- 符合安全法规
  - DIN EN IEC 60747-17 (VDE 0884-17)
  - UL1577
  - IEC 61010-1 和 GB 4943.1-2022

## 3 应用

- 工业自动化
- 医疗系统
- 太阳能逆变器
- 电机控制
- 隔离电源
- 隔离式 ADC、DAC

## 4 简化的通道结构

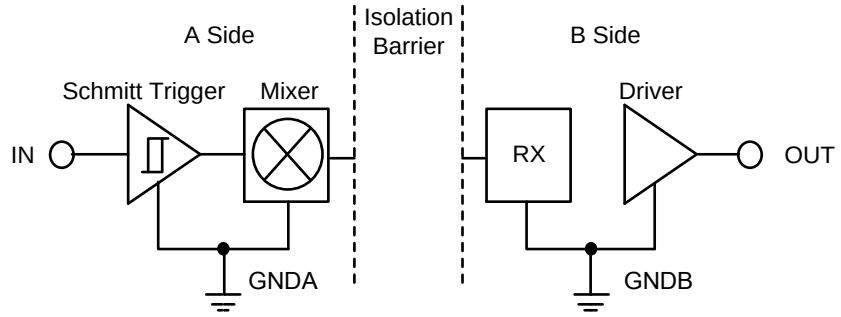


GNDA and GNDB are the isolated grounds for A side and B side respectively.

## 5 选型指南

| 器件型号 | A 侧输入 | B 侧输入 | 默认输出 |
|---|---|---|---|
| UMISO7740AL | 4 | 0 | 低 |
| UMISO7740AH | 4 | 0 | 高 |
| UMISO7741AL | 3 | 1 | 低 |
| UMISO7741AH | 3 | 1 | 高 |
| UMISO7742AL | 2 | 2 | 低 |
| UMISO7742AH | 2 | 2 | 高 |

## 6 功能框图

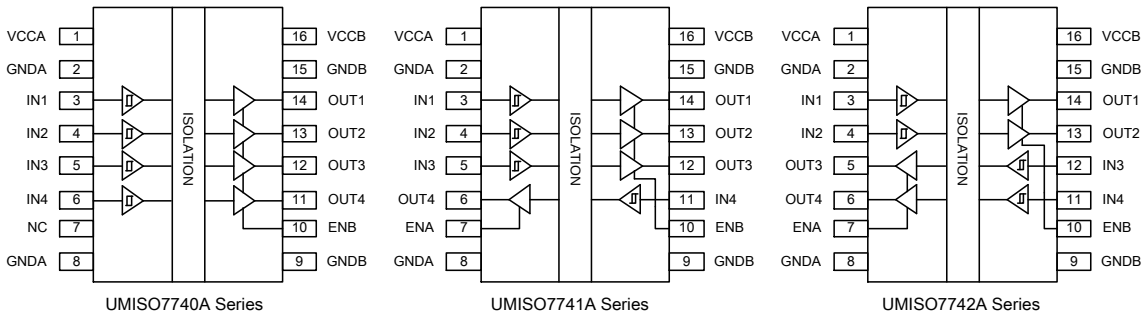

## 7 订购信息

| 器件型号 | A 侧输入 | B 侧输入 | 默认输出 | 隔离电压 ($V_{RMS}$) | 丝印编码 | 封装 | 发货数量 |
|---|---|---|---|---|---|---|---|
| UMISO7740ALSAG | 4 | 0 | Low | 3000 | ISO7740AL | SSOP16(0.635) | 4000pcs/13Inch Tape & Reel |
| UMISO7740ALSG | | | | 3750 | ISO7740AL | SOP16 | 3000pcs/13Inch Tape & Reel |
| UMISO7740ALWSG | | | | 5000 | ISO7740AL | WSOP16 | 1500pcs/13Inch Tape & Reel |
| UMISO7740ALWWSG | | | | 7500 | ISO7740AL | WWSOP16 | 1000pcs/13Inch Tape & Reel |
| UMISO7740AHSAG | | | High | 3000 | ISO7740AH | SSOP16(0.635) | 4000pcs/13Inch Tape & Reel |
| UMISO7740AHSG | | | | 3750 | ISO7740AH | SOP16 | 3000pcs/13Inch Tape & Reel |
| UMISO7740AHWSG | | | | 5000 | ISO7740AH | WSOP16 | 1500pcs/13Inch Tape & Reel |
| UMISO7740AHWWSG | | | | 7500 | ISO7740AH | WWSOP16 | 1000pcs/13Inch Tape & Reel |
| UMISO7741ALSAG | 3 | 1 | Low | 3000 | ISO7741AL | SSOP16(0.635) | 4000pcs/13Inch Tape & Reel |
| UMISO7741ALSG | | | | 3750 | ISO7741AL | SOP16 | 3000pcs/13Inch Tape & Reel |
| UMISO7741ALWSG | | | | 5000 | ISO7741AL | WSOP16 | 1500pcs/13Inch Tape & Reel |
| UMISO7741ALWWSG | | | | 7500 | ISO7741AL | WWSOP16 | 1000pcs/13Inch Tape & Reel |
| UMISO7741AHSAG | | | High | 3000 | ISO7741AH | SSOP16(0.635) | 4000pcs/13Inch Tape & Reel |
| UMISO7741AHSG | | | | 3750 | ISO7741AH | SOP16 | 3000pcs/13Inch Tape & Reel |
| UMISO7741AHWSG | | | | 5000 | ISO7741AH | WSOP16 | 1500pcs/13Inch Tape & Reel |
| UMISO7741AHWWSG | | | | 7500 | ISO7741AH | WWSOP16 | 1000pcs/13Inch Tape & Reel |
| UMISO7742ALSAG | 2 | 2 | Low | 3000 | ISO7742AL | SSOP16(0.635) | 4000pcs/13Inch Tape & Reel |
| UMISO7742ALSG | | | | 3750 | ISO7742AL | SOP16 | 3000pcs/13Inch Tape & Reel |
| UMISO7742ALWSG | | | | 5000 | ISO7742AL | WSOP16 | 1500pcs/13Inch Tape & Reel |
| UMISO7742ALWWSG | | | | 7500 | ISO7742AL | WWSOP16 | 1000pcs/13Inch Tape & Reel |
| UMISO7742AHSAG | | | High | 3000 | ISO7742AH | SSOP16(0.635) | 4000pcs/13Inch Tape & Reel |
| UMISO7742AHSG | | | | 3750 | ISO7742AH | SOP16 | 3000pcs/13Inch Tape & Reel |
| UMISO7742AHWSG | | | | 5000 | ISO7742AH | WSOP16 | 1500pcs/13Inch Tape & Reel |
| UMISO7742AHWWSG | | | | 7500 | ISO7742AH | WWSOP16 | 1000pcs/13Inch Tape & Reel |

## 8 引脚配置和功能

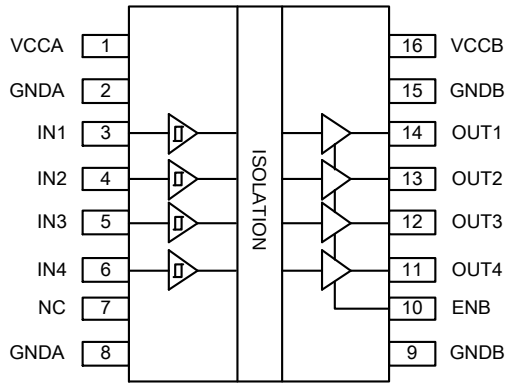


**UMISO7740A**
**SSOP16(0.635) / SOP16 / WSOP16 / WWSOP16**

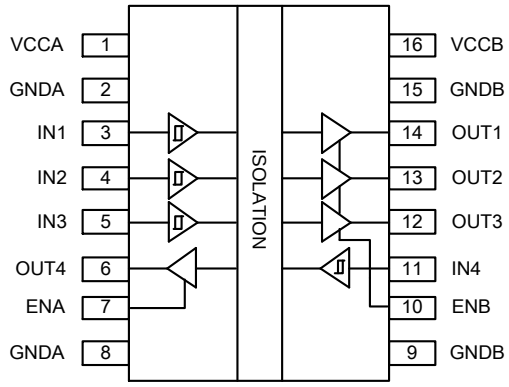


**UMISO7741A**
**SSOP16(0.635) / SOP16 / WSOP16 / WWSOP16**

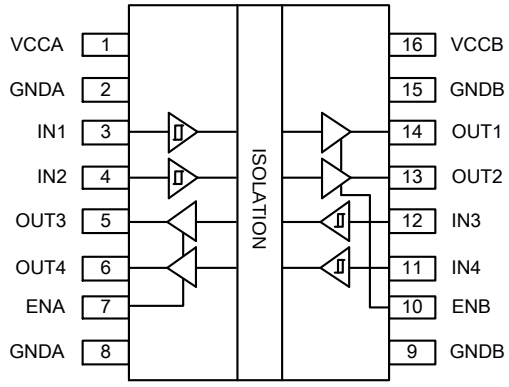


**UMISO7742A**
**SSOP16(0.635) / SOP16 / WSOP16 / WWSOP16**

## 8 引脚配置和功能（续）

表 8-1. 引脚功能

| 引脚编号 | | | 引脚名称 | 功能 |
|---|---|---|---|---|
| UMISO7740A | UMISO7741A | UMISO7742A | | |
| 1 | 1 | 1 | VCCA | 隔离器A侧的电源。 |
| 2, 8 | 2, 8 | 2, 8 | GNDA | 隔离器A侧的地。 |
| 3 | 3 | 3 | IN1 | 逻辑输入 1，对应逻辑输出 1。 |
| 4 | 4 | 4 | IN2 | 逻辑输入 2，对应逻辑输出 2。 |
| 5 | 5 | 12 | IN3 | 逻辑输入 3，对应逻辑输出 3。 |
| 6 | 11 | 11 | IN4 | 逻辑输入 4，对应逻辑输出 4。 |
| 7 | - | - | NC | 未连接。可连接至电源、地线，或在PCB上保持开路。 |
| - | 7 | 7 | ENA | 输出使能 A。当 ENA 为高电平或悬空时，A 侧的输出引脚被使能；当 ENA 为低电平时，A 侧的输出引脚处于开路且高阻态。 |
| 10 | 10 | 10 | ENB | 输出使能 B。当 ENB 为高电平或悬空时，B 侧的输出引脚被使能；当 ENB 为低电平时，B 侧的输出引脚处于开路和高阻态状态。 |
| 11 | 6 | 6 | OUT4 | 逻辑输出 4，OUT4 是 IN4 输入的逻辑输出。 |
| 12 | 12 | 5 | OUT3 | 逻辑输出 3（OUT3）是 IN3 输入的逻辑输出。 |
| 13 | 13 | 13 | OUT2 | 逻辑输出 2（OUT2）是 IN2 输入的逻辑输出。 |
| 14 | 14 | 14 | OUT1 | 逻辑输出 1（OUT1）是 IN1 输入的逻辑输出。 |
| 9, 15 | 9, 15 | 9, 15 | GNDB | 隔离器 B 侧的地。 |
| 16 | 16 | 16 | VCCB | 隔离器B侧的电源。 |

# 9 规格

## 9.1 绝对最大额定值（注 1）

| 符号 | 参数 | 测试条件 | 最小值 | 典型值 | 最大值 | 单位 |
|---|---|---|---|---|---|---|
| $V_{CCA}$ | 隔离器 A 侧的电源电压 | 注 2 | -0.5 | | 6.5 | V |
| $V_{CCB}$ | 隔离器 B 侧的电源电压 | 注 2 | -0.5 | | 6.5 | V |
| $V_I$ | INx、OUTx、ENx上的电压 | 注 3 | -0.5 | | $V_{CCX}$ +0.5 | V |
| $V_{ESD}$ | 人体放电模型（HBM），符合 ANSI/ESDA/JEDEC JS-001 标准 | 所有引脚 | | ±8 | | kV |
| $I_{LU}$ | 闩锁（Latch-up），符合 JEDEC JESD78 标准 | | | ±200 | | mA |
| $I_O$ | 输出电流 | | -15 | | 15 | mA |
| $T_J$ | 结温 | | -40 | | 150 | ℃ |
| $T_{STG}$ | 贮存温度 | | -65 | | 150 | ℃ |

注 1：超过“绝对最大额定值”中列出的应力值可能会对器件造成永久性损坏。这些仅为应力额定值，并不意味着器件在这些条件下或“建议运行条件”中未指明的任何其他条件下能够正常工作。长期处于绝对最大额定条件下可能会影响器件的可靠性。
注 2：所有电压值均相对于本地接地端子（GNDA 或 GNDB），且为峰值电压。
注 3：最大电压不得超过 6.5 V。

## 9.2 推荐工作条件（注 1）

| 符号 | 参数 | 测试条件 | 最小值 | 典型值 | 最大值 | 单位 |
|---|---|---|---|---|---|---|
| $V_{CCA}$ | 隔离器 A 侧的电源电压 | | 3.0 | 3.3/5.0 | 5.5 | V |
| $V_{CCB}$ | 隔离器 B 侧的电源电压 | | 3.0 | 3.3/5.0 | 5.5 | V |
| $V_{CC(UVLO+)}$ | $V_{CC}$ 电压上升时的欠压锁定阈值 | | 2.6 | 2.7 | 2.9 | V |
| $V_{CC(UVLO-)}$ | $V_{CC}$ 电压下降时的欠压锁定阈值 | | 2.4 | 2.6 | 2.7 | V |
| $V_{HYS(UVLO)}$ | $V_{CC}$ 欠压锁定阈值迟滞 | | | 100 | | mV |
| $I_{OH}$ | 高电平输出电流 | $V_{CCO}$ = 5V | -4 | | | mA |
| | | $V_{CCO}$ =3.3V | -2 | | | |
| $I_{OL}$ | 低电平输出电流 | $V_{CCO}$ = 5V | | | 4 | mA |
| | | $V_{CCO}$ =3.3V | | | 2 | |
| $V_{IH}$ | INx 输入高电平 | | 0.7$V_{CCI}$ | | $V_{CCI}$ | V |
| $V_{IL}$ | INx 输入低电平 | | 0 | | 0.3$V_{CCI}$ | V |
| $V_{IH}$ | ENx 输入高电平 | | 0.7$V_{CCO}$ | | $V_{CCO}$ | V |
| $V_{IL}$ | ENx 输入低电平 | | 0 | | 0.3$V_{CCO}$ | V |
| DR | 数据速率 | | | | 20 | Mbps |
| $T_A$ | 工作环境温度 | | -40 | 25 | 125 | ℃ |

注 1：$V_{CCI}$= 输出侧电源 $V_{CC}$，$V_{CCO}$= 输出侧电源 $V_{CC}$

### 9.3 热性能信息

| 符号 | 参数 | | 值 | 单位 |
|---|---|---|---|---|
| $R_{\theta JA}$ | 结至环境热阻 | SSOP16(0.635) | 140 | °C/W |
| | | SOP16 | 78.9 | |
| | | WSOP16 | 78.9 | |
| | | WWSOP16 | 78.9 | |

### 9.4 额定功率

| 符号 | 参数 | 条件 | 最小值 | 典型值 | 最大值 | 单位 |
|---|---|---|---|---|---|---|
| **UMISO7740A** | | | | | | |
| $P_D$ | 最大功耗 | $V_{CCA}$ = $V_{CCB}$ = 5.5 V，<br>$C_L$ = 15 pF，<br>$T_J$ = 150 ℃，输入 10 MHz、占空比为 50%的方波。 | | | 200 | mW |
| $P_{DA}$ | A 侧最大功耗 | | | | 80 | mW |
| $P_{DB}$ | B 侧最大功耗 | | | | 120 | mW |
| **UMISO7741A** | | | | | | |
| $P_D$ | 最大功耗 | $V_{CCA}$ = $V_{CCB}$ = 5.5 V，<br>$C_L$ = 15 pF，<br>$T_J$ = 150 ℃，输入 10 MHz、占空比为 50%的方波 | | | 200 | mW |
| $P_{DA}$ | A 侧最大功耗 | | | | 90 | mW |
| $P_{DB}$ | B 侧最大功耗 | | | | 110 | mW |
| **UMISO7742A** | | | | | | |
| $P_D$ | 最大功耗 | $V_{CCA}$ = $V_{CCB}$ = 5.5 V，<br>$C_L$ = 15 pF，<br>$T_J$ = 150 ℃，输入 10 MHz、占空比为 50%的方波 | | | 200 | mW |
| $P_{DA}$ | A 侧最大功耗 | | | | 100 | mW |
| $P_{DB}$ | B 侧最大功耗 | | | | 100 | mW |

## 9.5 绝缘规格

| 符号 | 参数 | 条件 | 数值 | | | | 单位 |
|---|---|---|---|---|---|---|---|
| | | | SSOP16 (0.635) | SOP16 | WSOP16 | WWSOP16 | |
| CLR | 外部间隙 | 端子间的最短空间距离 | 4 | 4 | 8 | 15 | mm |
| CPG | 外部爬电距离 | 端子间的最短封装表面距离 | 4 | 4 | 8 | 15 | mm |
| DTI | 隔离距离 | 最小内部间隙（内部间距） | >20 | >20 | >20 | >20 | μm |
| CTI | 相对漏电起痕指数 | DIN EN 60112 (VDE 0303-11)；IEC 60112 | >600 | >600 | >600 | >600 | V |
| | 材料组 | 根据 IEC 60664-1 | I | I | I | I | |
| | 根据 IEC 60664-1 规定的过电压类别 | 额定市电电压≤ 150 $V_{RMS}$ | I-IV | I-IV | I-IV | I-IV | |
| | | 额定市电电压≤ 300 $V_{RMS}$ | I-III | I-III | I-IV | I-IV | |
| | | 额定市电电压≤ 600 $V_{RMS}$ | N/A | N/A | I-IV | I-IV | |
| | | 额定市电电压≤ 1000 $V_{RMS}$ | N/A | N/A | I-II | I-II | |
| **DIN V VDE V 0884-17:2021-10（注 1）** | | | | | | | |
| $V_{IORM}$ | 最大重复峰值隔离电压 | 交流电压（双极） | 637 | 637 | 1414 | 1414 | $V_{PK}$ |
| $V_{IOWM}$ | 最大工作隔离电压 | 交流电压；时间依赖型电介质击穿(TDDB)测试 | 450 | 450 | 1000 | 1000 | $V_{均方根值}$ |
| | | 直流电压 | 637 | 637 | 1414 | 1414 | $V_{直流}$ |
| $V_{IOTM}$ | 最大瞬态隔离电压 | $V_{TEST} = V_{IOTM}$，t=60 s（鉴定测试）；$V_{TEST} = 1.2 \times V_{IOTM}$，t = 1 s（100% 生产测试） | 4242 | 5300 | 8060 | 10605 | $V_{PK}$ |
| $V_{IMP}$ | 最大脉冲电压 | 在空气中测试，波形为 1.2/50 μs，符合 IEC 62368-1 标准， | 5000 | 5000 | 7500 | 7500 | $V_{PK}$ |
| $V_{IOSM}$ | 最大浪涌隔离电压 | $V_{IOSM} \geq 1.3 \times V_{IMP}$；在油中测试（鉴定测试），1.2/50 μs波形，符合 IEC 62368-1 标准 | 6500 | 6500 | 10000 | 10000 | $V_{PK}$ |

## 9.5 绝缘规格（续）

| 符号 | 参数 | 条件 | 值 | | | | 单位 |
|---|---|---|---|---|---|---|---|
| | | | SSOP16 (0.635) | SOP16 | WSOP16 | WWSOP16 | |
| $q_{pd}$ | 视在电荷（注 2） | 方法a，I/O 安全测试子组 2/3 后，$V_{ini} = V_{IOTM}$ ，$t_{ini}$ = 60 s；$V_{pd(m)} = 1.2 \times V_{IORM}$，$t_m$ = 10 s | ≤5 | ≤5 | ≤5 | ≤5 | pC |
| | | 方法a，环境测试子组 1 后，$V_{ini} = V_{IOTM}$，$t_{ini}$ = 60 s；$V_{pd(m)} = 1.3 \times V_{IORM}$ , $t_m$ = 10 s | ≤5 | ≤5 | ≤5 | ≤5 | pC |
| | | 方法 b，常规测试（100% 生产测试）和预调节（类型试验），$V_{ini} = 1.2 \times V_{IOTM}$, $t_{ini}$ = 1 s；$V_{pd(m)} = 1.875 \times V_{IORM}$（加强型设备）或 $V_{pd(m)} = 1.5 \times V_{IORM}$（基本型设备），$t_m$ = 1 s （方法b1）或$V_{pd(m)} = V_{ini}$，$t_m = t_{ini}$（方法b2） | ≤5 | ≤5 | ≤5 | ≤5 | pC |
| $C_{IO}$ | 势垒电容，输入至输出（注 3） | $V_{IO}$ = 0.4 × sin (2πft)，f = 1 MHz | 1.0 | 1.0 | 1.0 | 1.0 | pF |
| $R_{IO}$ | 隔离电阻（注 3） | $V_{IO}$ = 500 V，$T_A$ = 25℃ | $>10^{12}$ | $>10^{12}$ | $>10^{12}$ | $>10^{12}$ | Ω |
| | | $V_{IO}$ = 500 V，100℃≤ $T_A$ ≤ 125℃ | $>10^{11}$ | $>10^{11}$ | $>10^{11}$ | $>10^{11}$ | |
| | | $V_{IO}$ = 500 V，$T_s$ = 150℃ | $>10^{9}$ | $>10^{9}$ | $>10^{9}$ | $>10^{9}$ | |
| | 污染等级 | | 2 | 2 | 2 | 2 | |
| **UL 1577** | | | | | | | |
| $V_{ISO}$ | 最大耐受隔离电压 | $V_{TEST} = V_{ISO}$ , t = 60 s（鉴定测试）<br>$V_{TEST} = 1.2 \times V_{ISO}$ , t = 1 s（100% 生产测试） | 3000 | 3750 | 5000 | 7500 | $V_{RMS}$ |

注 1：本耦合器仅在安全额定值范围内适用于“安全电气绝缘”。 应借助合适的保护电路来确保符合安全等级。

注 2：视在电荷是局部放电(pd)引起的电气放电。

注 3：电容和电阻的测量是在 A 侧和 B 侧的所有引脚分别连接在一起，构成一个双引脚器件的条件下进行的。

## 9.6 电气特性（注 1）

### 9.6.1 电气特性（$V_{CCA}$ = $V_{CCB}$ = 5 V ± 10%）

除非另有说明，否则均在推荐的工作条件下，$V_{CCA}$ = $V_{CCB}$ = 5 V ± 10%，$T_A$ = -40 to 125°C。所有典型值均在 25°C 时测得。

| 符号 | 参数 | 条件 | 最小值 | 典型值 | 最大值 | 单位 |
|---|---|---|---|---|---|---|
| $V_{OH}$ | 高电平输出电压 | $I_{OH}$ = -4 mA | $V_{CCO}$-0.4 | 4.8 | | V |
| $V_{OL}$ | 低电平输出电压 | $I_{OL}$ = 4 mA | | 0.2 | 0.4 | V |
| $V_{IH}$ | INx 输入高电平 | | | | 0.7$V_{CCI}$ | V |
| $V_{IL}$ | INx 输入低电平 | | 0.3$V_{CCI}$ | | | V |
| $V_{IH}$ | ENx 输入高电平 | | | | 0.7$V_{CCO}$ | V |
| $V_{IL}$ | ENx 输入低电平 | | 0.3$V_{CCO}$ | | | V |
| $I_{IN}$ | INx、ENx 输入电流 | 0 V ≤ $V_{IN}$≤ $V_{CCX}$ | -10 | | 10 | μA |
| $Z_O$ | 输出阻抗 | | | 50 | | Ω |
| CMTI | 共模瞬态抗扰度 | $V_I$ = $V_{CCI}$ 或 0 V，$V_{CM}$ = 1200 V，见图10-4 | ±150 | ±200 | | kV/μs |
| $C_I$ | 输入电容（注 2） | $V_I$ = $V_{CC}$ / 2 + 0.4×sin(2πft)，f = 1 MHz，$V_{CC}$ = 5 V | | 2 | | pF |

### 9.6.2 电气特性（$V_{CCA}$ = $V_{CCB}$ = 3.3 V ± 10%）

除非另有说明，否则均在推荐的工作条件下，$V_{CCA}$ = $V_{CCB}$ = 3.3 V ± 10%，$T_A$ = -40 to 125°C。所有典型值均在 25°C 时测得。

| 符号 | 参数 | 条件 | 最小值 | 典型值 | 最大值 | 单位 |
|---|---|---|---|---|---|---|
| $V_{OH}$ | 高电平输出电压 | $I_{OH}$ = -2 mA | $V_{CCO}$-0.4 | 3.2 | | V |
| $V_{OL}$ | 低电平输出电压 | $I_{OL}$ = 2 mA | | 0.1 | 0.4 | V |
| $V_{IH}$ | INx 输入高电平 | | | | 0.7$V_{CCI}$ | V |
| $V_{IL}$ | INx 输入低电平 | | 0.3$V_{CCI}$ | | | V |
| $V_{IH}$ | ENx 输入高电平 | | | | 0.7$V_{CCO}$ | V |
| $V_{IL}$ | ENx 输入低电平 | | 0.3$V_{CCO}$ | | | V |
| $I_{IN}$ | INx 输入电流 | 0 V ≤ $V_{IN}$≤ $V_{CCX}$ | -10 | | 10 | μA |
| $Z_O$ | 输出阻抗 | | | 50 | | Ω |
| CMTI | 共模瞬态抗扰度 | $V_I$ = $V_{CCI}$ 或 0 V，$V_{CM}$ = 1200 V，见图10-4 | ±150 | ±200 | | kV/μs |
| $C_I$ | 输入电容（注 2） | $V_I$ = $V_{CC}$ / 2 + 0.4×sin(2πft)，f = 1 MHz，$V_{CC}$ = 3.3V | | 2 | | pF |

注 1：$V_{CCI}$ = 输入侧电源 $V_{CC}$，$V_{CCO}$ = 输出侧电源 $V_{CC}$。
注 2：在引脚与地之间测量。

## 9.7 电源电流特性

### 9.7.1 电源电流特性（$V_{CCA}$ = $V_{CCB}$ = 5 V ± 10%）

除非另有说明，否则均在推荐的工作条件下，$V_{CCA}$ = $V_{CCB}$ = 5 V ± 10%，$T_A$ = -40 to 125°C。所有典型值均在 25°C 时测得。

| 符号 | 参数 | 条件 | | 最小值 | 典型值 | 最大值 | 单位 |
|---|---|---|---|---|---|---|---|
| **UMISO7740A** | | | | | | | |
| $I_{CCA}$ | 电源电流 - 输出禁用 | ENB = 0 V; $V_{IN}$ = 0 V (UMISO7740AL); $V_{IN}$ = $V_{CCA}$ (UMISO7740AH) | | | 1.31 | 2.8 | mA |
| $I_{CCB}$ | | | | | 3.83 | 5.9 | |
| $I_{CCA}$ | | ENB = 0 V; $V_{IN}$ = $V_{CCA}$ (UMISO7740AL); $V_{IN}$ = 0 V (UMISO7740AH) | | | 5.22 | 8.6 | |
| $I_{CCB}$ | | | | | 3.91 | 6.2 | |
| $I_{CCA}$ | 电源电流 - 直流信号 | ENB = $V_{CCB}$; $V_{IN}$ = 0V (UMISO7740AL); $V_{IN}$ = $V_{CCA}$ (UMISO7740AH) | | | 1.31 | 2.8 | mA |
| $I_{CCB}$ | | | | | 3.88 | 5.9 | |
| $I_{CCA}$ | | ENB = $V_{CCB}$; $V_{IN}$ = $V_{CCA}$ (UMISO7740AL); $V_{IN}$ = 0V (UMISO7740AH) | | | 5.23 | 8.6 | |
| $I_{CCB}$ | | | | | 3.92 | 6.2 | |
| $I_{CCA}$ | 电源电流 - 交流信号 | ENB = $V_{CCB}$，所有通道均在幅度 5V、50%占空比的方波时钟输入下进行开关切换；每个通道的 $C_L$ = 15 pF。 | 1Mbps | | | 4.9 | mA |
| $I_{CCB}$ | | | | | | 6.0 | |
| $I_{CCA}$ | | | 10Mbps | | | 5.6 | |
| $I_{CCB}$ | | | | | | 7.5 | |
| $I_{CCA}$ | | | 20Mbps | | | 7.0 | |
| $I_{CCB}$ | | | | | | 9.5 | |
| **UMISO7741A** | | | | | | | |
| $I_{CCA}$ | 电源电流 - 输出禁用 | ENA = ENB = 0 V; $V_{IN}$ = 0 V (UMISO7741AL); $V_{IN}$ = $V_{CCI}$ (UMISO7741AH)（注 1） | | | 1.92 | 3.5 | mA |
| $I_{CCB}$ | | | | | 3.2 | 5.8 | |
| $I_{CCA}$ | | ENA = ENB = 0 V; $V_{IN}$ = $V_{CCI}$ (UMISO7741AL); $V_{IN}$ = 0 V (UMISO7741AH) | | | 4.84 | 7.8 | |
| $I_{CCB}$ | | | | | 4.24 | 6.9 | |

### 9.7.1 电源电流特性（$V_{CCA}$ = $V_{CCB}$ = 5 V ± 10%）（续）

除非另有说明，否则均在推荐的工作条件下，$V_{CCA}$ = $V_{CCB}$ = 5 V ± 10%，$T_A$ = -40 to 125°C。所有典型值均在 25°C 时测得。

| 符号 | 参数 | 条件 | | 最小值 | 典型值 | 最大值 | 单位 |
|---|---|---|---|---|---|---|---|
| $I_{CCA}$ | 电源电流 - 直流信号 | ENA = ENB = $V_{CCI}$;<br>$V_{IN}$ = 0V (UMISO7741AL);<br>$V_{IN}$ = $V_{CCI}$ (UMISO7741AH) | | | 1.93 | 3.5 | mA |
| $I_{CCB}$ | | | | | 3.2 | 5.8 | |
| $I_{CCA}$ | | ENA = ENB = $V_{CCI}$;<br>$V_{IN}$ = $V_{CCI}$ (UMISO7741AL);<br>$V_{IN}$ = 0V (UMISO7741AH) | | | 4.85 | 7.8 | |
| $I_{CCB}$ | | | | | 4.24 | 6.9 | |
| $I_{CCA}$ | 电源电流 - 交流信号 | ENA = ENB =$V_{CCI}$，所有通道均在幅度5V、50%占空比的方波时钟输入下进行开关切换；每个通道的$C_L$ = 15 pF。 | 1Mbps | | | 4.9 | |
| $I_{CCB}$ | | | | | | 5.7 | |
| $I_{CCA}$ | | | 10Mbps | | | 5.5 | |
| $I_{CCB}$ | | | | | | 7.2 | |
| $I_{CCA}$ | | | 20Mbps | | | 7.1 | |
| $I_{CCB}$ | | | | | | 8.7 | |
| **UMISO7742A** | | | | | | | |
| $I_{CCA}$ | 电源电流 - 输出禁用 | ENA = ENB = 0 V;<br>$V_{IN}$ = 0V (UMISO7742AL);<br>$V_{IN}$ = $V_{CCI}$ (UMISO7742AH)<br>（注 1） | | | 2.55 | 5.1 | mA |
| $I_{CCB}$ | | | | | 2.55 | 5.1 | |
| $I_{CCA}$ | | ENA = ENB = 0 V;<br>$V_{IN}$ = $V_{CCI}$ (UMISO7742AL);<br>$V_{IN}$ = 0 V (UMISO7742AH) | | | 4.54 | 8.0 | |
| $I_{CCB}$ | | | | | 4.54 | 8.0 | |

### 9.7.1 电源电流特性（$V_{CCA}$ = $V_{CCB}$ = 5 V ± 10%）（续）

除非另有说明，否则均在推荐的工作条件下，$V_{CCA}$ = $V_{CCB}$ = 5 V ± 10%，$T_A$ = -40 to 125°C。所有典型值均在 25°C 时测得。

| 符号 | 参数 | 条件 | | 最小值 | 典型值 | 最大值 | 单位 |
|---|---|---|---|---|---|---|---|
| $I_{CCA}$ | 电源电流 - 直流信号 | ENA = ENB = $V_{CCI}$; $V_{IN}$ = 0V (UMISO7742AL); $V_{IN}$ = $V_{CCI}$ (UMISO7742AH) | | | 2.55 | 5.1 | mA |
| $I_{CCB}$ | | | | | 2.55 | 5.1 | |
| $I_{CCA}$ | | ENA = ENB = $V_{CCI}$; $V_{IN}$ = $V_{CCI}$ (UMISO7742AL); $V_{IN}$ = 0V (UMISO7742AH) | | | 4.54 | 8.0 | |
| $I_{CCB}$ | | | | | 4.54 | 8.0 | |
| $I_{CCA}$ | 电源电流 - 交流信号 | ENA = ENB = $V_{CCI}$，所有通道均在幅度5V、50%占空比的方波时钟输入下进行开关切换；每个通道的$C_L$ = 15 pF。 | 1Mbps | | | 5.4 | |
| $I_{CCB}$ | | | | | | 5.4 | |
| $I_{CCA}$ | | | 10Mbps | | | 6.5 | |
| $I_{CCB}$ | | | | | | 6.5 | |
| $I_{CCA}$ | | | 20Mbps | | | 8.5 | |
| $I_{CCB}$ | | | | | | 8.5 | |

注 1：$V_{CCI}$ = 输入侧电源电压 $V_{CC}$

### 9.7.2 电源电流特性（$V_{CCA}$ = $V_{CCB}$ = 3.3 V ± 10%）

除非另有说明，否则均在推荐的工作条件下，$V_{CCA}$ = $V_{CCB}$ = 3.3 V ± 10%，$T_A$ = -40 至 125°C。所有典型值均在 25°C 时测得。

| 符号 | 参数 | 条件 | | 最小值 | 典型值 | 最大值 | 单位 |
|---|---|---|---|---|---|---|---|
| **UMISO7740A** | | | | | | | |
| $I_{CCA}$ | 电源电流 - 输出禁用 | ENB = 0 V; $V_{IN}$ = 0V (UMISO7740AL); $V_{IN}$ = $V_{CCA}$ (UMISO7740AH) | | | 1.24 | 2.8 | mA |
| $I_{CCB}$ | | | | | 3.72 | 5.9 | |
| $I_{CCA}$ | | ENB = 0 V; $V_{IN}$ = $V_{CCA}$ (UMISO7740AL); $V_{IN}$ = 0 V (UMISO7740AH) | | | 5.14 | 8.6 | |
| $I_{CCB}$ | | | | | 3.81 | 6.2 | |
| $I_{CCA}$ | 电源电流 - 直流信号 | ENB = $V_{CCB}$; $V_{IN}$ = 0V (UMISO7740AL); $V_{IN}$ = $V_{CCA}$ (UMISO7740AH) | | | 1.24 | 2.8 | mA |
| $I_{CCB}$ | | | | | 3.73 | 5.9 | |
| $I_{CCA}$ | | ENB = $V_{CCB}$ ; $V_{IN}$ = $V_{CCA}$ (UMISO7740AL); $V_{IN}$ = 0V (UMISO7740AH) | | | 5.15 | 8.6 | |
| $I_{CCB}$ | | | | | 3.82 | 6.2 | |
| $I_{CCA}$ | 电源电流 - 交流信号 | ENB = $V_{CCB}$，所有通道均在幅度3.3V、50%占空比的方波时钟输入下进行开关切换；每个通道的$C_L$ = 15 pF。 | 1Mbps | | | 4.9 | |
| $I_{CCB}$ | | | | | | 6.0 | |
| $I_{CCA}$ | | | 10Mbps | | | 5.6 | |
| $I_{CCB}$ | | | | | | 7.5 | |
| $I_{CCA}$ | | | 20Mbps | | | 7.0 | |
| $I_{CCB}$ | | | | | | 9.5 | |
| **UMISO7741A** | | | | | | | |
| $I_{CCA}$ | 电源电流 - 输出禁用 | ENA = ENB = 0 V; $V_{IN}$ = 0V (UMISO7741AL); $V_{IN}$ = $V_{CCI}$ (UMISO7741AH) （注 1） | | | 1.85 | 3.5 | mA |
| $I_{CCB}$ | | | | | 3.1 | 5.8 | |
| $I_{CCA}$ | | ENA = ENB = 0 V; $V_{IN}$ = $V_{CCI}$ (UMISO7741AL); $V_{IN}$ = 0 V (UMISO7741AH) | | | 4.77 | 7.8 | |
| $I_{CCB}$ | | | | | 4.14 | 6.9 | |

### 9.7.2 电源电流特性（$V_{CCA}$ = $V_{CCB}$ = 3.3 V ± 10%）（续）

除非另有说明，否则均在推荐的工作条件下，$V_{CCA}$ = $V_{CCB}$ = 3.3 V ± 10%，$T_A$ = -40 至 125°C。所有典型值均在 25°C 时测得。

| 符号 | 参数 | 条件 | | 最小值 | 典型值 | 最大值 | 单位 |
|---|---|---|---|---|---|---|---|
| $I_{CCA}$ | 电源电流 - 直流信号 | ENA = ENB = $V_{CCI}$; $V_{IN}$ = 0 V (UMISO7741AL); $V_{IN}$ = $V_{CCI}$ (UMISO7741AH) | | | 1.85 | 3.5 | mA |
| $I_{CCB}$ | | | | | 3.1 | 5.8 | |
| $I_{CCA}$ | | ENA = ENB = $V_{CCI}$; $V_{IN}$ = $V_{CCI}$ (UMISO7741AL); $V_{IN}$ = 0 V (UMISO7741AH) | | | 4.77 | 7.8 | |
| $I_{CCB}$ | | | | | 4.14 | 6.9 | |
| $I_{CCA}$ | 电源电流 - 交流信号 | ENA = ENB = $V_{CCI}$，所有通道均在幅度3.3V、50%占空比的方波时钟输入下进行开关切换；每个通道的$C_L$ = 15 pF。 | 1Mbps | | | 4.9 | |
| $I_{CCB}$ | | | | | | 5.7 | |
| $I_{CCA}$ | | | 10Mbps | | | 5.5 | |
| $I_{CCB}$ | | | | | | 7.2 | |
| $I_{CCA}$ | | | 20Mbps | | | 7.1 | |
| $I_{CCB}$ | | | | | | 8.7 | |
| **UMISO7742A** | | | | | | | |
| $I_{CCA}$ | 电源电流 - 输出禁用 | ENA = ENB = 0 V; $V_{IN}$ = 0 V (UMISO7742L); $V_{IN}$ = $V_{CCI}$ (UMISO7742H)（注 1） | | | 2.47 | 5.1 | mA |
| $I_{CCB}$ | | | | | 2.47 | 5.1 | |
| $I_{CCA}$ | | ENA = ENB = 0 V; $V_{IN}$ = $V_{CCI}$ (UMISO7742L); $V_{IN}$ = 0 V (UMISO7742H) | | | 4.45 | 8.0 | |
| $I_{CCB}$ | | | | | 4.45 | 8.0 | |

### 9.7.2 电源电流特性（$V_{CCA}$ = $V_{CCB}$ = 3.3 V ± 10%）（续）

除非另有说明，否则均在推荐的工作条件下，$V_{CCA}$ = $V_{CCB}$ = 3.3 V ± 10%，$T_A$ = -40 至 125°C。所有典型值均在 25°C 时测得。

| 符号 | 参数 | 条件 | | 最小值 | 典型值 | 最大值 | 单位 |
|---|---|---|---|---|---|---|---|
| $I_{CCA}$ | 电源电流 - 直流信号 | ENA = ENB = $V_{CCI}$; $V_{IN}$ = 0V (UMISO7742L); $V_{IN}$ = $V_{CCI}$ (UMISO7742H) | | | 2.48 | 5.1 | mA |
| $I_{CCB}$ | | | | | 2.48 | 5.1 | |
| $I_{CCA}$ | | ENA = ENB = $V_{CCI}$ ; $V_{IN}$ = $V_{CCI}$ (UMISO7742L); $V_{IN}$ = 0V (UMISO7742H) | | | 4.45 | 8.0 | |
| $I_{CCB}$ | | | | | 4.45 | 8.0 | |
| $I_{CCA}$ | 电源电流 - 交流信号 | ENA = ENB = $V_{CCI}$，所有通道均在幅度3.3V、50%占空比的方波时钟输入下进行开关切换；每个通道的$C_L$ = 15 pF。 | 1Mbps | | | 5.4 | |
| $I_{CCB}$ | | | | | | 5.4 | |
| $I_{CCA}$ | | | 10Mbps | | | 6.5 | |
| $I_{CCB}$ | | | | | | 6.5 | |
| $I_{CCA}$ | | | 20Mbps | | | 8.5 | |
| $I_{CCB}$ | | | | | | 8.5 | |

注 1：$V_{CCI}$ = 输入侧电源 $V_{CC}$

## 9.8 开关特性

### 9.8.1 开关特性（$V_{CCA}$ = $V_{CCB}$ = 5 V ± 10%）

除非另有说明，否则均在推荐的工作条件下，$V_{CCA}$ = $V_{CCB}$ = 5 V ± 10%，$T_A$ = -40 to 125°C。所有典型值均在 25°C 时测得。

| 符号 | 参数 | 条件 | 最小值 | 典型值 | 最大值 | 单位 |
|---|---|---|---|---|---|---|
| DR | 数据速率 | | | | 20 | Mbps |
| $PWM_{MIN}$ | 最小脉冲宽度 | | | | 25 | ns |
| $t_{PLH}$ | 传播延迟时间 | 见图 10-1 | | 34 | 100 | ns |
| $t_{PHL}$ | | 见图 10-1 | | 34 | 100 | ns |
| PWD | 脉宽失真，$\lvert t_{PLH} - t_{PHL} \rvert$ | 见图 10-1 | | 1 | 10 | ns |
| $t_{SK(O)}$ | 通道间输出偏斜时间（注 1） | 同向通道 | | 0.5 | 2 | ns |
| $t_{SK(PP)}$ | 器件间输出偏斜时间（注 2） | | | | 4 | ns |
| $t_R$ | 输出信号上升时间 | 见图 10-1 | | 2.5 | | ns |
| $t_F$ | 输出信号下降时间 | 见图 10-1 | | 2.5 | | ns |
| $t_{PHZ}$ | 禁用传播延时，输出高电平至高阻态 | 见图 10-2 | | 16.5 | 50 | ns |
| $t_{PLZ}$ | 禁用传播延时，输出低电平至高阻态 | 见图 10-2 | | 16.8 | 50 | ns |
| $t_{PZH}$ | 使能传播延时，输出高阻态至高电平 | 见图 10-2 | | 10.0 | 30 | ns |
| $t_{PZL}$ | 使能传播延时，输出高阻态至低电平 | 见图 10-2 | | 9.5 | 30 | ns |
| $t_{DO}$ | 从输入电源掉电开始的默认输出延迟时间 | 见图 10-3 | | 0.2 | 70 | μs |
| $t_{SU}$ | 启动时间 | | | 18 | 300 | μs |

注 1：$t_{SK(O)}$ 是指所有驱动输入均连在一起且在驱动相同负载时输出在相同方向上开关，单个器件的输出之间的偏斜。

注 2：$t_{SK(PP)}$ 是指在相同电源电压、温度、输入信号和负载下工作，同时在相同方向上开关，其传播延迟时间之差的绝对值，不同器件的任意端子之间的传播延迟时间差幅度。

### 9.8.2 开关特性（$V_{CCA}$ = $V_{CCB}$ = 3.3 V ± 10%）

除非另有说明，否则均在推荐的工作条件下，$V_{CCA}$ = $V_{CCB}$ = 3.3 V ± 10%，$T_A$ = -40 to 125°C。所有典型值均在 25°C 时测得。

| 符号 | 参数 | 条件 | 最小值 | 典型值 | 最大值 | 单位 |
|---|---|---|---|---|---|---|
| DR | 数据速率 | | | | 20 | Mbps |
| $PWM_{MIN}$ | 最小脉冲宽度 | | | | 25 | ns |
| $t_{PLH}$ | 传播延迟时间 | 见图 10-1 | | 35 | 100 | ns |
| $t_{PHL}$ | | 见图 10-1 | | 35 | 100 | ns |
| PWD | 脉宽失真，$\lvert t_{PLH} - t_{PHL} \rvert$ | 见图 10-1 | | 1 | 10 | ns |
| $t_{SK(O)}$ | 通道间输出偏斜时间（注 1） | 同向通道 | | 0.3 | 2 | ns |
| $t_{SK(PP)}$ | 器件间输出偏斜时间（注 2） | | | | 4.5 | ns |
| $t_R$ | 输出信号上升时间 | 见图 10-1 | | 2.5 | | ns |
| $t_F$ | 输出信号下降时间 | 见图 10-1 | | 2.5 | | ns |
| $t_{PHZ}$ | 禁用传播延时，输出高电平至高阻态 | 见图 10-2 | | 20.0 | 50 | ns |
| $t_{PLZ}$ | 禁用传播延时，输出低电平至高阻态 | 见图 10-2 | | 20.0 | 50 | ns |
| $t_{PZH}$ | 使能传播延时，输出高阻态至高电平 | 见图 10-2 | | 11.6 | 30 | ns |
| $t_{PZL}$ | 使能传播延时，输出高阻态至低电平 | 见图 10-2 | | 11.1 | 30 | ns |
| $t_{DO}$ | 从输入电源掉电开始的默认输出延迟时间 | 见图 10-3 | | 0.2 | 70 | μs |
| $t_{SU}$ | 启动时间 | | | 18 | 300 | μs |

注 1：$t_{SK(O)}$ 是指所有驱动输入均连在一起且在驱动相同负载时输出在相同方向上开关，单个器件的输出之间的偏斜。

注 2：$t_{SK(PP)}$ 是指在相同电源电压、温度、输入信号和负载下工作，同时在相同方向上开关，其传播延迟时间之差的绝对值，不同器件的任意端子之间的传播延迟时间差幅度。

## 10 参数测量信息

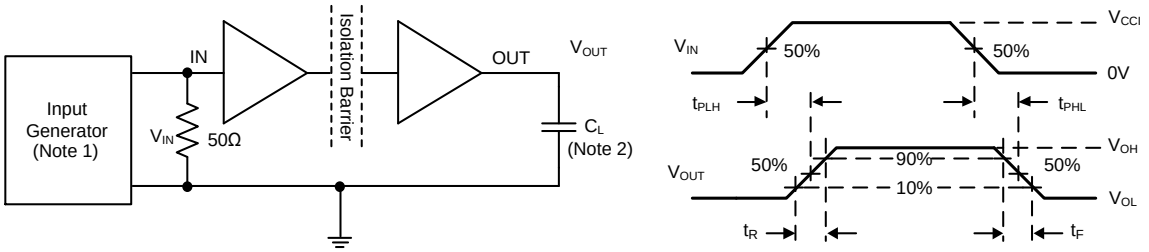


注 1：输入脉冲由具有以下特性的发生器提供：频率≤ 10MHz，占空比 50%，$t_R$≤ 3ns，$t_F$ ≤ 3ns，$Z_{OUT}$=50Ω。输入端需要 50 Ω 电阻来端接输入发生器的输入信号。实际应用中不需要。
注 2：$C_L$ = 15pF，其中包含外部电路（仪器和夹具等）的电容。由于负载电容会影响输出上升时间，因此它是时序特性测量的关键因素。

图 10-1. 开关特性测试电路和电压波形

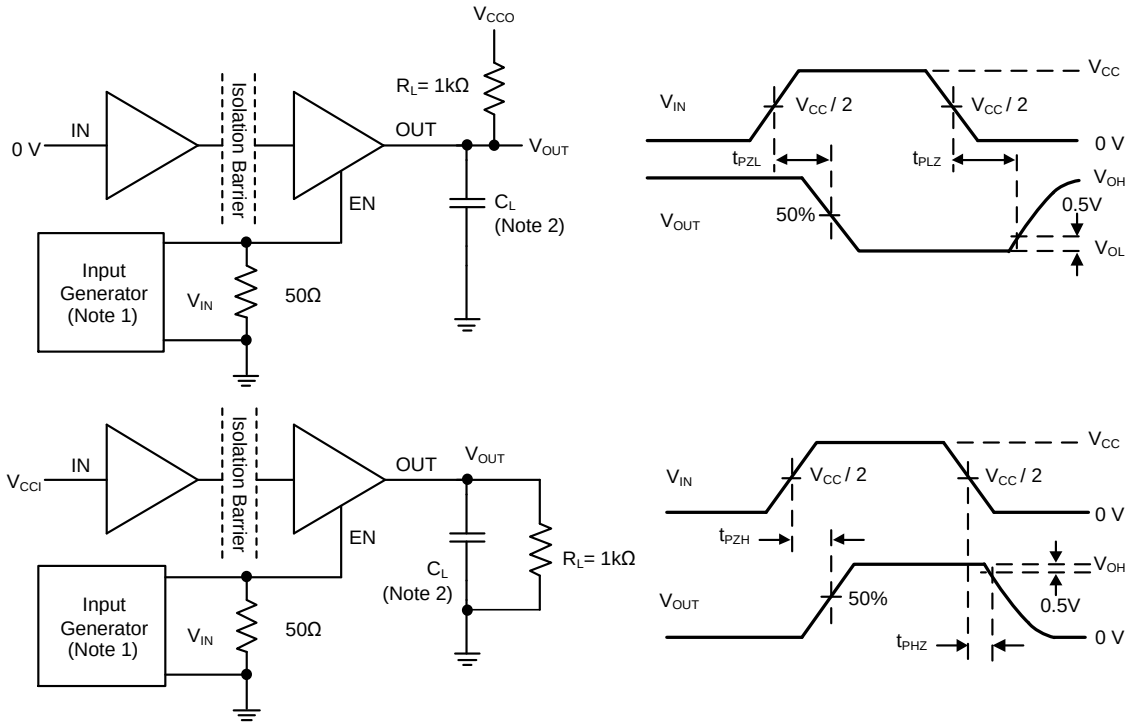


注 1：输入脉冲由具有以下特性的发生器提供：频率≤ 10kHz，占空比 50%，$t_R$≤ 3ns，$t_F$ ≤ 3ns，$Z_{OUT}$=50Ω。输入端需要 50 Ω 电阻来端接输入发生器的输入信号。实际应用中不需要。
注 2：$C_L$ = 15pF，其中包含外部电路（仪器和夹具等）的电容。由于负载电容会影响输出上升时间，因此它是时序特性测量的关键因素。

图 10-2. 使能/禁用延迟时间测试电路和电压波形

## 10 参数测量信息（续）

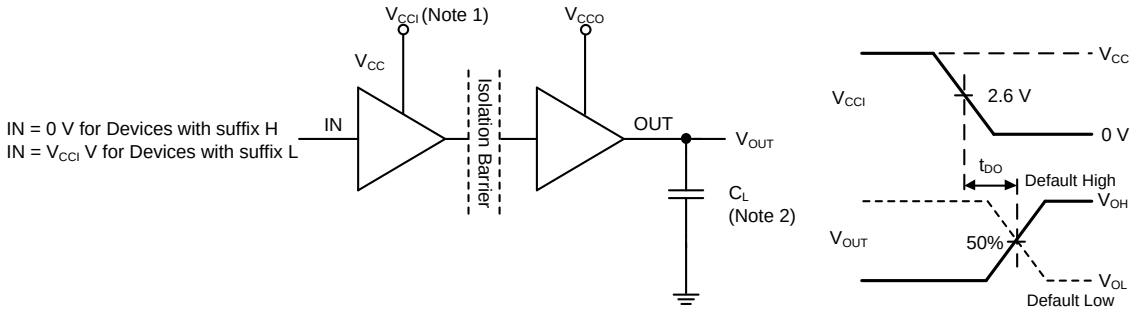


注 1：电源上升速率 = 10 mV/ns。$V_{CCI}$ 上升至超过 $V_{CC(UVLO+)}$，且低于 5.5V。
注 2：$C_L$ = 15pF，包含外部电路（仪器和夹具等）电容。由于负载电容会影响输出上升时间，它是时序特性测量中的关键因素。

图 10-3. 默认输出延迟时间测试电路和电压波形

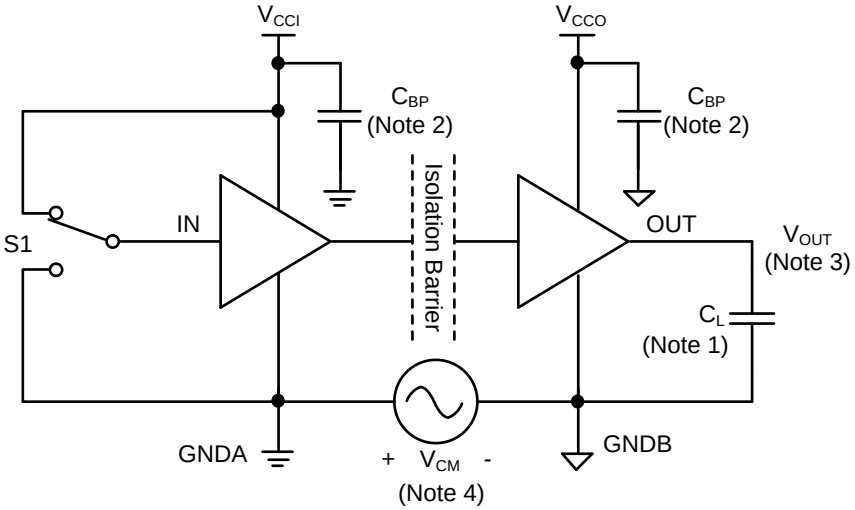


注 1：$C_L$ = 15pF，其中包含外部电路（仪器和夹具等）的电容。
注 2：$C_{BP}$ (0.1 ~ 1uF) 为旁路电容。
注 3：合格/不合格标准：输出必须保持稳定。
注 4：高压浪涌发生器产生重复性高压浪涌，其振幅为> 1kV，上升时间为< 10ns，下降时间为< 10ns，以达到共模瞬态噪声，其上升/下降速率为> 150kV/μs。

图 10-4. 共模瞬态抗扰度测试电路

# 11 详细说明

## 11.1 概述

UMISO774xA 是一款采用 Union 全差分电容隔离技术的双通道数字隔离器。该器件采用 OOK 键控调制方案，可在不同电源域的电路之间，通过基于 $SiO_2$的隔离屏障传输数字信号。发射器通过隔离屏障发送高频载波来表示一种数字状态，而不发送信号时则表示另一种数字状态。接收器对信号进行解调，并通过缓冲级在输出端恢复输入信号。凭借这种 OOK 架构，UMISO774xA 在不同电源域之间构建了稳健的数据传输路径，且无需任何特殊的启动初始化要求。

该器件还采用了先进的全差分技术，以最大限度地提高 CMTI 性能，并最大限度地减少由高频载波和 I/O 缓冲器切换引起的辐射干扰。

## 11.2 功能框图

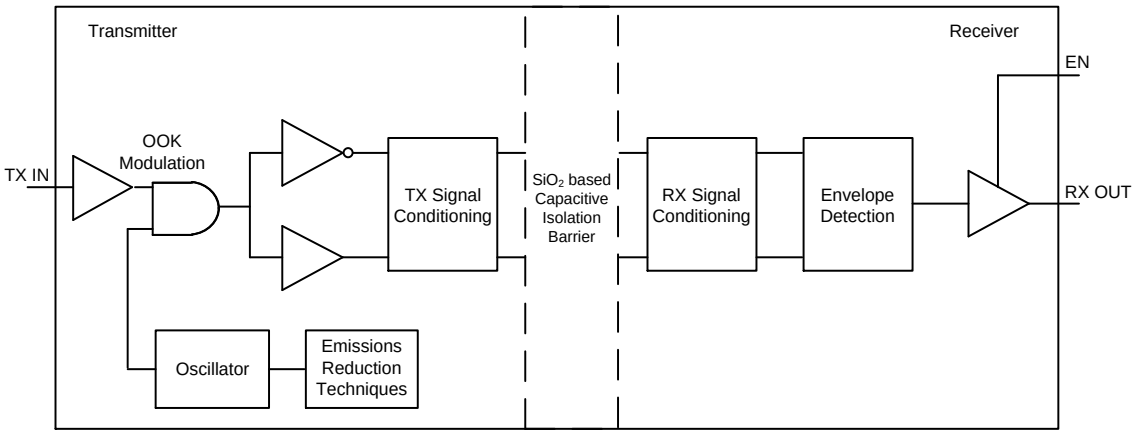


图 11-1. 单通道功能框图

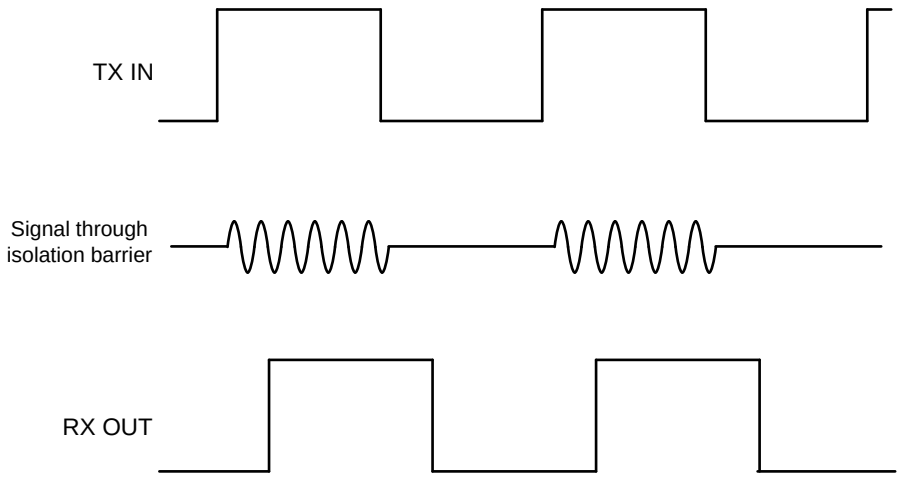


图 11-2. 单通道的概念性工作波形

### 11.3 器件工作模式（注 1、2、3）

表 11-1 列出了 UMISO774xA 器件的工作模式。

表 11-1. 工作模式表（注 1、2、3）

| $V_{CCI}$ | $V_{CCO}$ | 使能 (ENx) | 输入 (INx) | 输出 (OUTx) | 工作状态 |
|---|---|---|---|---|---|
| X | PD | X | X | 不确定 | 如果输出端 $V_{CCO}$ 未供电，则通道输出不确定。（注 4） |
| X | PU | L | X | Z | 高阻态模式：<br>使能引脚处于低电平时，输出呈高阻态。 |
| PD | PU | H or Open | X | 默认电平 | 默认输出模式：<br>当 $V_{CCI}$ 未上电时，通道输出将根据其默认选项进入相应的逻辑状态。<br>UMISO774xAH 的默认值为高电平，<br>UMISO774xAL 的默认值为低电平。 |
| PU | PU | H or Open | H | H | 正常工作模式：<br>通道输出遵循其输入的逻辑状态。 |
| | | H or Open | L | L | |
| | | H or Open | 开路 | 默认电平 | 默认输出模式：<br>当输入开路时，对应通道输出进入其默认逻辑状态。<br>UMISO774xAH 的默认值为高电平，<br>UMISO774xAL 的默认值为低电平。 |

注 1：$V_{CCI}$ 为输入侧 $V_{CC}$；$V_{CCO}$ 为输出侧 $V_{CC}$；PU = 上电（$V_{CC} > V_{CC(UVLO+)}$）；PD = 断电（$V_{CC} < V_{CC(UVLO-)}$）；X = 无关；H = 高电平；L = 低电平；Z = 高阻态。
注 2：强驱动的输入信号可通过内部保护二极管对浮空的 $V_{CC}$ 进行微弱供电，从而导致输出状态不确定。
注 3：当 UMISO774xA 在噪声环境中工作时，将使能输入连接至外部逻辑高电平或低电平。
注 4：当 $V_{CCI} > V_{CC(UVLO+)}$ 且 $V_{CCO} < V_{CC(UVLO-)}$ 时，输出处于未定义状态。.

# 12 应用和实施

## 12.1 应用信息

UMISO774xA 在两个电源域之间提供完整的电隔离，可保护电路免受高共模瞬态和故障的影响，并消除接地环路。在许多应用中，数字隔离器正在取代光耦合器，因为它们在提供相同隔离能力的同时，能够降低功耗并节省电路板空间。UMISO774xA 是一款高性能的 4 通道数字隔离器。与需要外部元件来提升性能、提供偏置电压或限制电流的光耦合器不同，UMISO774xA 仅需两个外部旁路电容即可工作。为减少纹波并降低引入数据错误的风险，请使用 0.1μF 至 1μF 的低 ESR 陶瓷电容，分别将 $V_{CCA}$ 和 $V_{CCB}$ 引脚旁路至 GNDA 和 GNDB。请将旁路电容尽可能靠近电源输入引脚放置。

## 12.2 典型应用

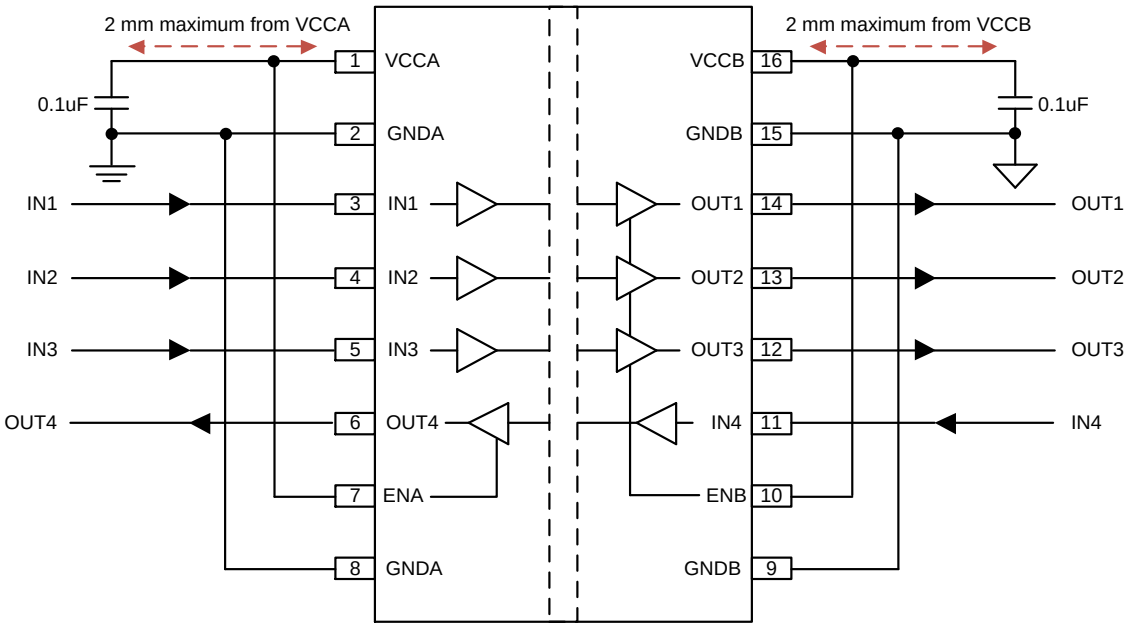


图 12-1. UMISO7741A 典型应用

## 13 封装信息

### SSOP16(0.635)

**Outline Drawing**

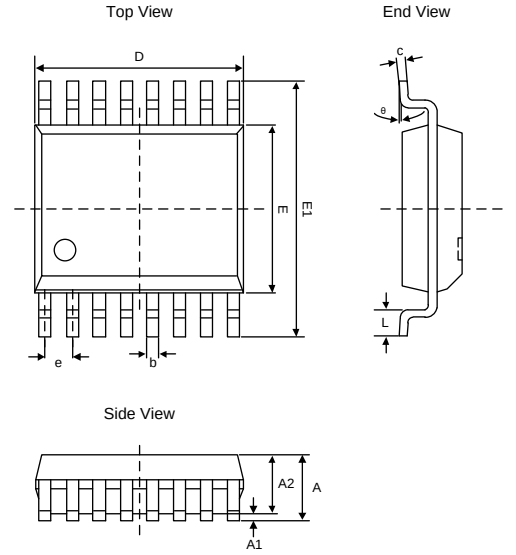


| Symbol | DIMENSIONS | | | | | |
|---|---|---|---|---|---|---|
| | MILLIMETERS | | | INCHES | | |
| | Min | Typ | Max | Min | Typ | Max |
| A | - | - | 1.75 | - | - | 0.070 |
| A1 | 0.10 | - | 0.25 | 0.004 | - | 0.010 |
| A2 | 1.30 | - | 1.55 | 0.052 | - | 0.062 |
| b | 0.20 | - | 0.31 | 0.008 | - | 0.012 |
| c | 0.17 | - | 0.25 | 0.007 | - | 0.010 |
| D | 4.70 | 4.90 | 5.10 | 0.188 | 0.196 | 0.204 |
| E | 3.80 | 3.90 | 4.00 | 0.152 | 0.156 | 0.160 |
| E1 | 5.80 | 6.00 | 6.20 | 0.232 | 0.24 | 0.248 |
| e | 0.635BSC | | | 0.025BSC | | |
| L | 0.40 | - | 1.27 | 0.016 | - | 0.051 |
| θ | 0 ° | - | 8° | 0° | - | 8° |

**Land Pattern**

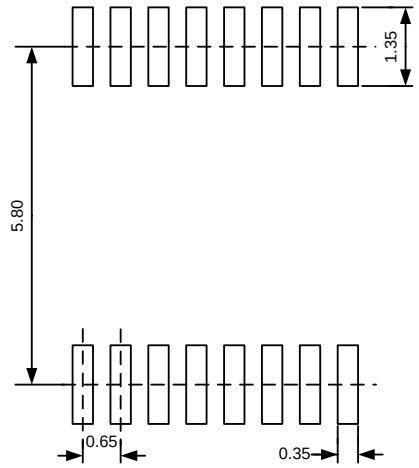


NOTES:
1. Unit: mm.
2. General tolerance ±0.05mm unless otherwise specified.
3. The layout is just for reference.

## SOP16

### Outline Drawing

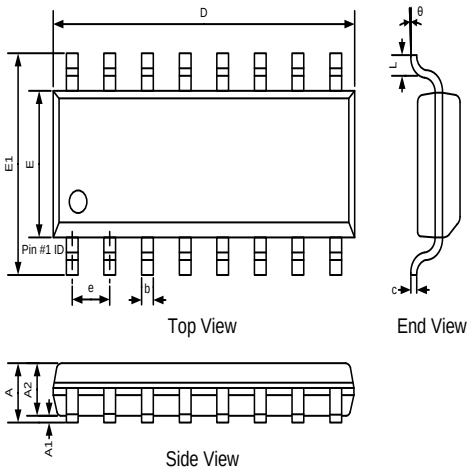


| DIMENSIONS | | | | | | |
|---|---|---|---|---|---|---|
| Symbol | MILLIMETERS | | | INCHES | | |
| | Min | Typ | Max | Min | Typ | Max |
| A | - | - | 1.75 | - | - | 0.069 |
| A1 | 0.10 | - | 0.25 | 0.004 | - | 0.010 |
| A2 | 1.25 | - | 1.65 | 0.049 | - | 0.065 |
| b | 0.33 | - | 0.51 | 0.013 | - | 0.020 |
| c | 0.17 | - | 0.25 | 0.007 | - | 0.010 |
| D | 9.80 | - | 10.20 | 0.386 | - | 0.402 |
| E | 3.80 | 3.90 | 4.00 | 0.150 | 0.154 | 0.157 |
| E1 | 5.80 | 6.00 | 6.20 | 0.228 | 0.236 | 0.244 |
| e | 1.27BSC | | | 0.050BSC | | |
| L | 0.40 | - | 1.27 | 0.016 | - | 0.050 |
| θ | 0 ° | - | 8 ° | 0 ° | - | 8 ° |

### Land Pattern

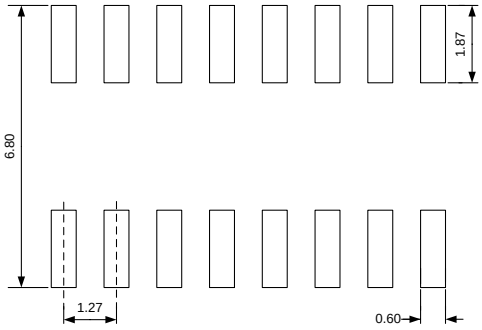


NOTES:
1. Unit: mm;
2. General tolerance ±0.05mm unless otherwise specified;
3. The layout is just for reference.

## WSOP16

### Outline Drawing

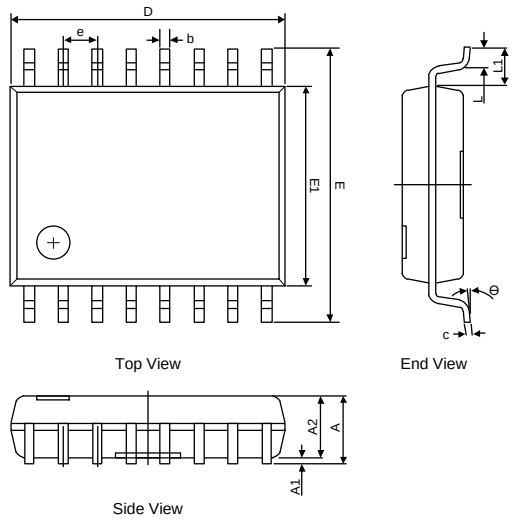


| DIMENSIONS | | | | | | |
|---|---|---|---|---|---|---|
| Symbol | MILLIMETERS | | | INCHES | | |
| | Min | Typ | Max | Min | Typ | Max |
| A | - | - | 2.65 | - | - | 0.104 |
| A1 | 0.10 | - | 0.30 | 0.004 | - | 0.012 |
| A2 | 2.25 | - | 2.35 | 0.089 | - | 0.093 |
| b | 0.35 | - | 0.43 | 0.014 | - | 0.017 |
| c | 0.24 | - | 0.29 | 0.009 | - | 0.011 |
| D | 10.2 | 10.3 | 10.4 | 0.402 | 0.406 | 0.409 |
| E | 10.1 | 10.3 | 10.5 | 0.398 | 0.406 | 0.413 |
| E1 | 7.4 | 7.5 | 7.6 | 0.291 | 0.295 | 0.299 |
| e | 1.27BSC | | | 0.050 BSC | | |
| L | 0.55 | - | 0.85 | 0.022 | - | 0.033 |
| L1 | 1.40REF | | | 0.060REF | | |
| θ | 0 ° | - | 8 ° | 0 ° | - | 8 ° |

### Land Pattern

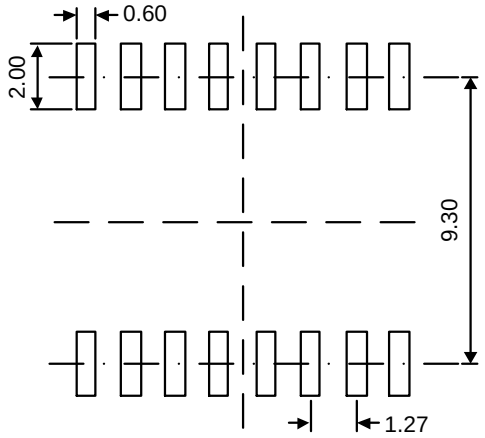


NOTES:
1. Unit: mm;
2. General tolerance ±0.05mm unless otherwise specified;
3. The layout is just for reference.

## WWSOP16

### Outline Drawing

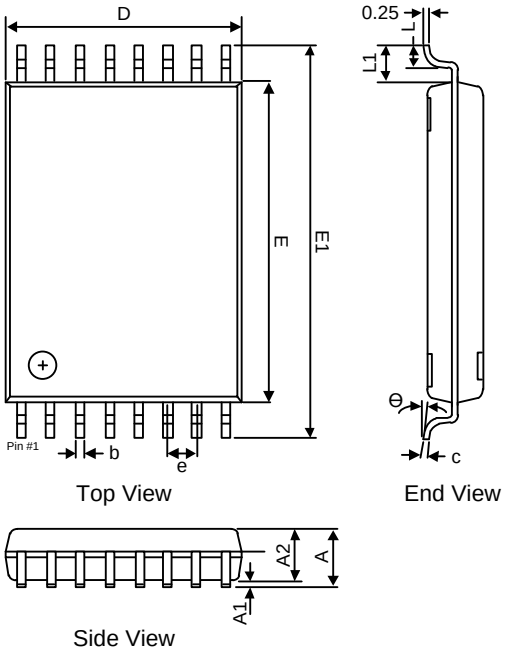


| DIMENSIONS | | | | | | |
|---|---|---|---|---|---|---|
| Symbol | MILLIMETERS | | | INCHES | | |
| | Min | Typ | Max | Min | Typ | Max |
| A | - | - | 2.65 | - | - | 0.104 |
| A1 | 0.10 | - | 0.30 | 0.004 | - | 0.012 |
| A2 | 2.236 | - | 2.336 | 0.088 | - | 0.092 |
| b | 0.31 | - | 0.51 | 0.012 | - | 0.020 |
| c | 0.22 | - | 0.28 | 0.009 | - | 0.011 |
| D | 10.20 | - | 10.40 | 0.402 | - | 0.409 |
| E | 13.90 | - | 14.10 | 0.547 | - | 0.555 |
| E1 | 17.10 | - | 17.40 | 0.673 | - | 0.685 |
| e | 1.27BSC | | | 0.050 BSC | | |
| L | 0.60 | - | 1.10 | 0.024 | - | 0.043 |
| L1 | 1.625REF | | | 0.064REF | | |
| θ | 0° | - | 8° | 0° | - | 8° |

### Land Pattern

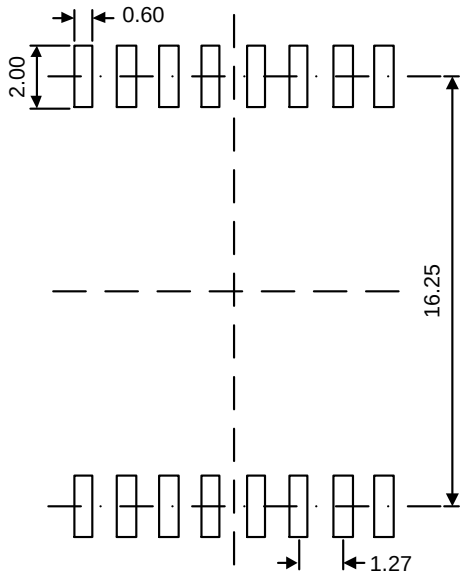


NOTES:
1. Unit: mm;
2. General tolerance ±0.05mm unless otherwise specified;
3. The layout is just for reference.

## 14 包装信息

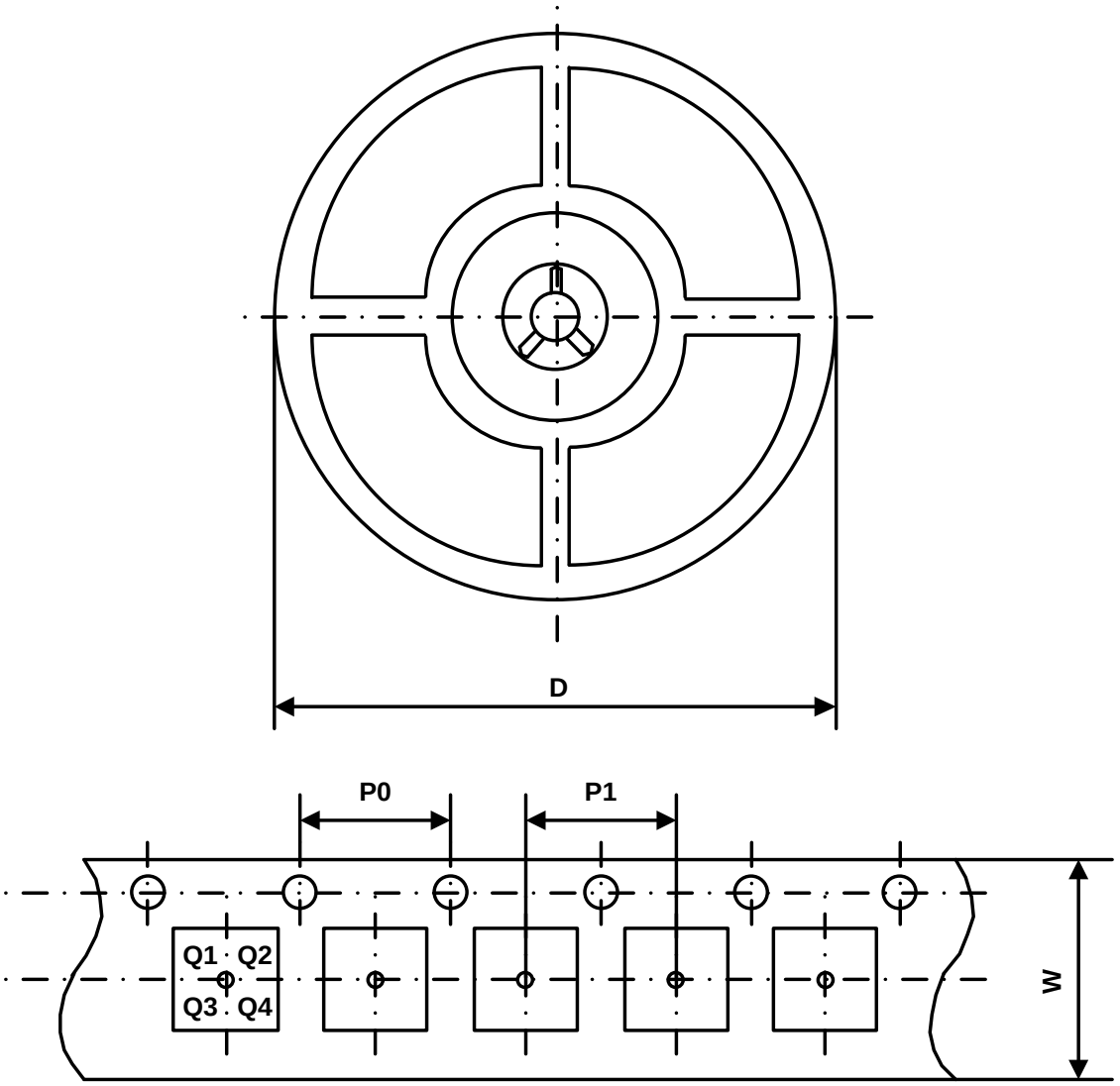


| Part Number | Package Type | Carrier Width (W) | Pitch (P0) | Pitch (P1) | Reel Size (D) | PIN 1 Quadrant |
|---|---|---|---|---|---|---|
| UMISO7740ALSAG | SSOP16(0.635) | 12 mm | 4 mm | 8 mm | 330 mm | Q1 |
| UMISO7740AHSAG | SSOP16(0.635) | 12 mm | 4 mm | 8 mm | 330 mm | Q1 |
| UMISO7741ALSAG | SSOP16(0.635) | 12 mm | 4 mm | 8 mm | 330 mm | Q1 |
| UMISO7741AHSAG | SSOP16(0.635) | 12 mm | 4 mm | 8 mm | 330 mm | Q1 |
| UMISO7742ALSAG | SSOP16(0.635) | 12 mm | 4 mm | 8 mm | 330 mm | Q1 |
| UMISO7742AHSAG | SSOP16(0.635) | 12 mm | 4 mm | 8 mm | 330 mm | Q1 |

| Part Number | Package Type | Carrier Width (W) | Pitch (P0) | Pitch (P1) | Reel Size (D) | PIN 1 Quadrant |
|---|---|---|---|---|---|---|
| UMISO7740ALSG | SOP16 | 16 mm | 4 mm | 8 mm | 330 mm | Q1 |
| UMISO7740AHSG | SOP16 | 16 mm | 4 mm | 8 mm | 330 mm | Q1 |
| UMISO7741ALSG | SOP16 | 16 mm | 4 mm | 8 mm | 330 mm | Q1 |
| UMISO7741AHSG | SOP16 | 16 mm | 4 mm | 8 mm | 330 mm | Q1 |
| UMISO7742ALSG | SOP16 | 16 mm | 4 mm | 8 mm | 330 mm | Q1 |
| UMISO7742AHSG | SOP16 | 16 mm | 4 mm | 8 mm | 330 mm | Q1 |
| UMISO7740ALWSG | WSOP16 | 16 mm | 4 mm | 12 mm | 330 mm | Q1 |
| UMISO7740AHWSG | WSOP16 | 16 mm | 4 mm | 12 mm | 330 mm | Q1 |
| UMISO7741ALWSG | WSOP16 | 16 mm | 4 mm | 12 mm | 330 mm | Q1 |
| UMISO7741AHWSG | WSOP16 | 16 mm | 4 mm | 12 mm | 330 mm | Q1 |
| UMISO7742ALWSG | WSOP16 | 16 mm | 4 mm | 12 mm | 330 mm | Q1 |
| UMISO7742AHWSG | WSOP16 | 16 mm | 4 mm | 12 mm | 330 mm | Q1 |
| UMISO7740ALWWSG | WWSOP16 | 24 mm | 4 mm | 20 mm | 330 mm | Q1 |
| UMISO7740AHWWSG | WWSOP16 | 24 mm | 4 mm | 20 mm | 330 mm | Q1 |
| UMISO7741ALWWSG | WWSOP16 | 24 mm | 4 mm | 20 mm | 330 mm | Q1 |
| UMISO7741AHWWSG | WWSOP16 | 24 mm | 4 mm | 20 mm | 330 mm | Q1 |
| UMISO7742ALWWSG | WWSOP16 | 24 mm | 4 mm | 20 mm | 330 mm | Q1 |
| UMISO7742AHWWSG | WWSOP16 | 24 mm | 4 mm | 20 mm | 330 mm | Q1 |

## 绿色合规

盈力半导体在运营各环节始终坚守环保卓越标准，确保在有害物质使用方面满足或超越各项法规要求。公司已成功推行多项管控方案，持续减少有害物质使用与排放。

盈力全系列元器件均符合 RoHS 指令要求，助力客户满足各项环保法规。如需了解更多绿色合规信息，敬请访问：https://www.union-ic.com/Quality.html

## 重要声明

本文档所含信息均经仔细审核，据信准确可靠。但本文档如有变更，恕不另行通知。盈力半导体不对文档中可能存在的任何信息误差承担责任，亦不承诺对文档内容进行更新、保持信息时效性，或向任何个人及机构告知相关变更。为提升产品可靠性、功能及优化设计，力求提供最优产品，本公司保留随时进行产品及相关资料修改调整的权利。